

Vorlesung  
Geometrische Algorithmen

**Bewegungsplanung für  
Roboter  
(Robot Motion Planning)**

Sven Schuierer

# Überblick

1. **Problemstellung**
2. **Konfigurationsraum**
3. **Bewegungsplanung für einen  
Punktroboter**
4. **Minkowski Summen**
5. **Pseudo-Scheiben**
6. **Bewegungsplanung mit Translationen**
7. **Bewegungsplanung mit Translationen  
und Rotationen**

# 1 Problemstellung

**Zentrale Aufgabe für einen Roboter:**

Planung einer Bewegung  
(Bewegungsplanungsproblem)

**Informationen über die Umgebung:**

**Beispiel:** autonomer Roboter in einer Fabrik

- Grundriß für Wände und Maschinen
- Sensoren für Menschen

# Arten von Robotern

## Autonomer mobiler Roboter



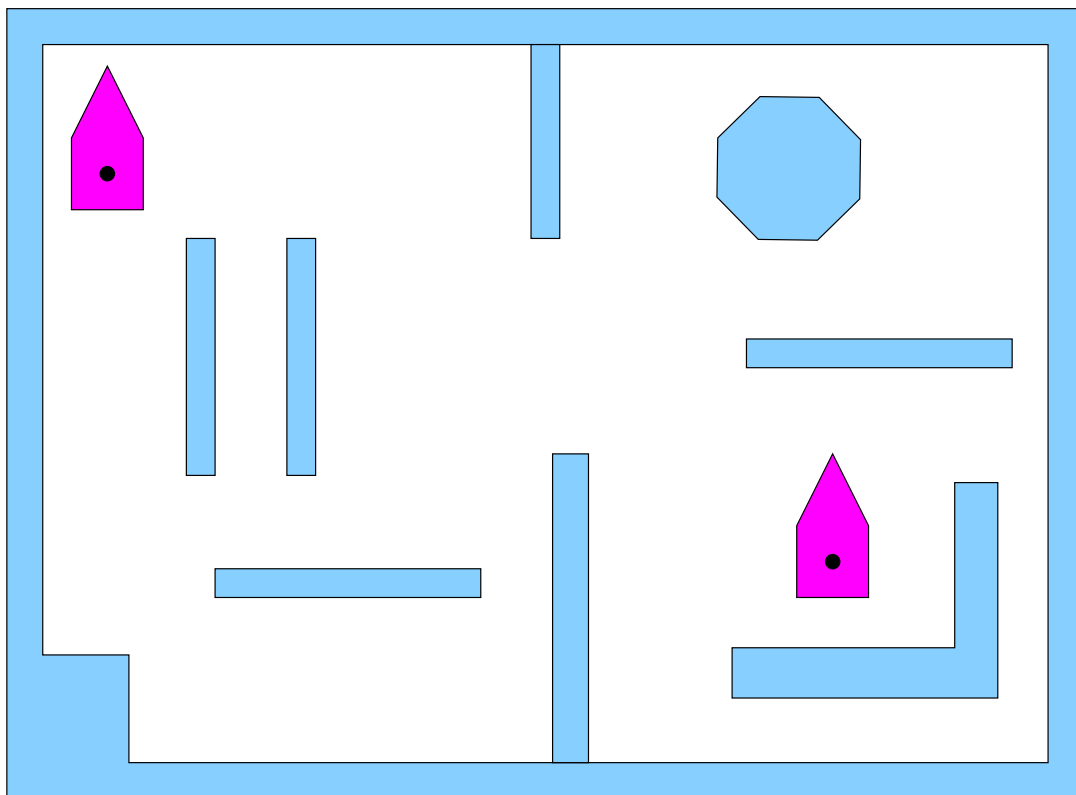
## Roboterarm





## 2 Arbeits- und Konfigurationsraum

**Arbeitsraum:** Menge  $\mathcal{H}$  von Hindernissen  
 $\{\mathcal{P}_1, \dots, \mathcal{P}_t\}$



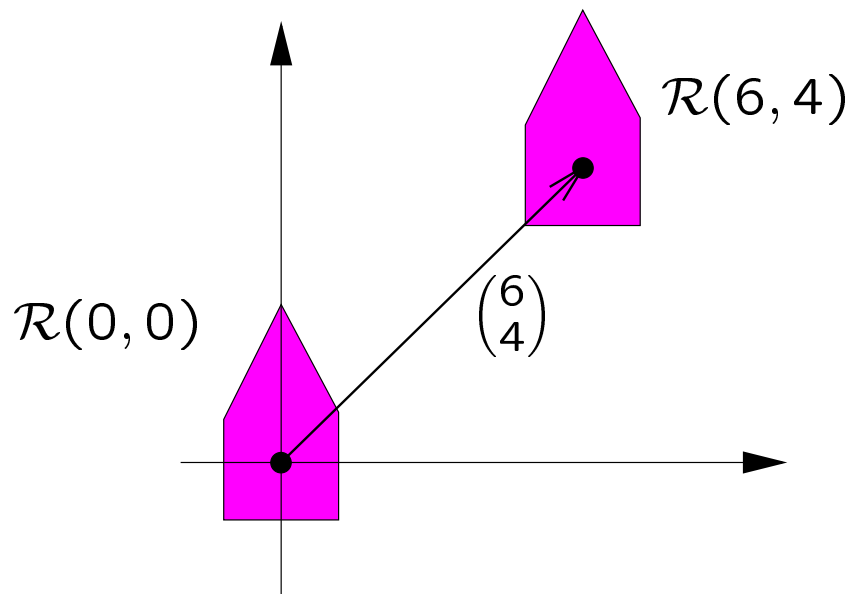
# 3 Konfigurationsraum

**Konfiguration**  $\mathcal{R}(\vec{x})$ : Spezifikation der Position des Roboters durch Parameter

**Beispiel:** Translatorischer Roboter  $\mathcal{R}(x, y)$

$$\mathcal{R}(0, 0) = (v_1, v_2, \dots, v_r) \quad \Rightarrow$$

$$\mathcal{R}(x, y) = (v_1 + (x, y), \dots, v_r + (x, y))$$



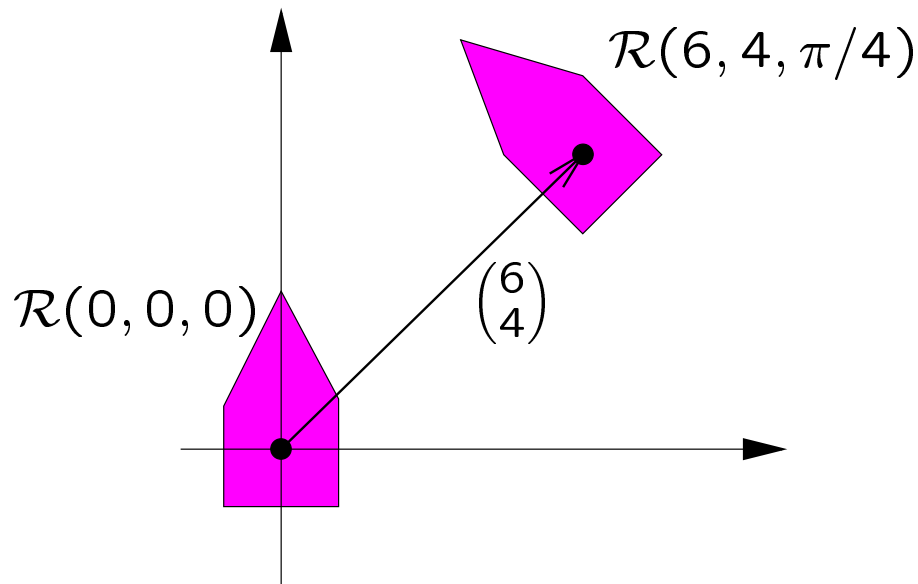
**Alternative:** Referenzpunkt

Ursprung  $(0, 0)$  des Koordinatensystems

# Konfigurationen

**Rotation:** zusätzlicher Parameter  $\varphi$

$\mathcal{R}(x, y, \varphi)$  = Roboter mit Referenzpunkt auf  $(x, y)$  und rotiert um  $\varphi$  Grad



Allgemein: **Freiheitsgrade**

**3-dimensionaler Roboter:**

Translation: drei Freiheitsgrade

Translation und Rotation: sechs  
Freiheitsgrade



# Konfigurationsraum

Menge aller Parameter eines Roboters  $\mathcal{R}$  heißt  
**Konfigurationsraum  $\mathcal{C}(\mathcal{R})$**

$$p \in \mathcal{C}(\mathcal{R}) \longleftrightarrow \mathcal{R}(p)$$

## Beispiele:

2-dimensionaler Roboter  $\mathcal{R}$  mit Translation  
und Rotation:

$$(x, y, \varphi) \in \mathcal{C}(\mathcal{R}) = \mathbb{R}^2 \times [0, 2\pi) \mapsto \mathcal{R}(x, y, \varphi)$$

2-dimensionaler Roboter  $\mathcal{R}$  mit Translation:

$$(x, y) \in \mathcal{C}(\mathcal{R}) = \mathbb{R}^2 \mapsto \mathcal{R}(x, y)$$

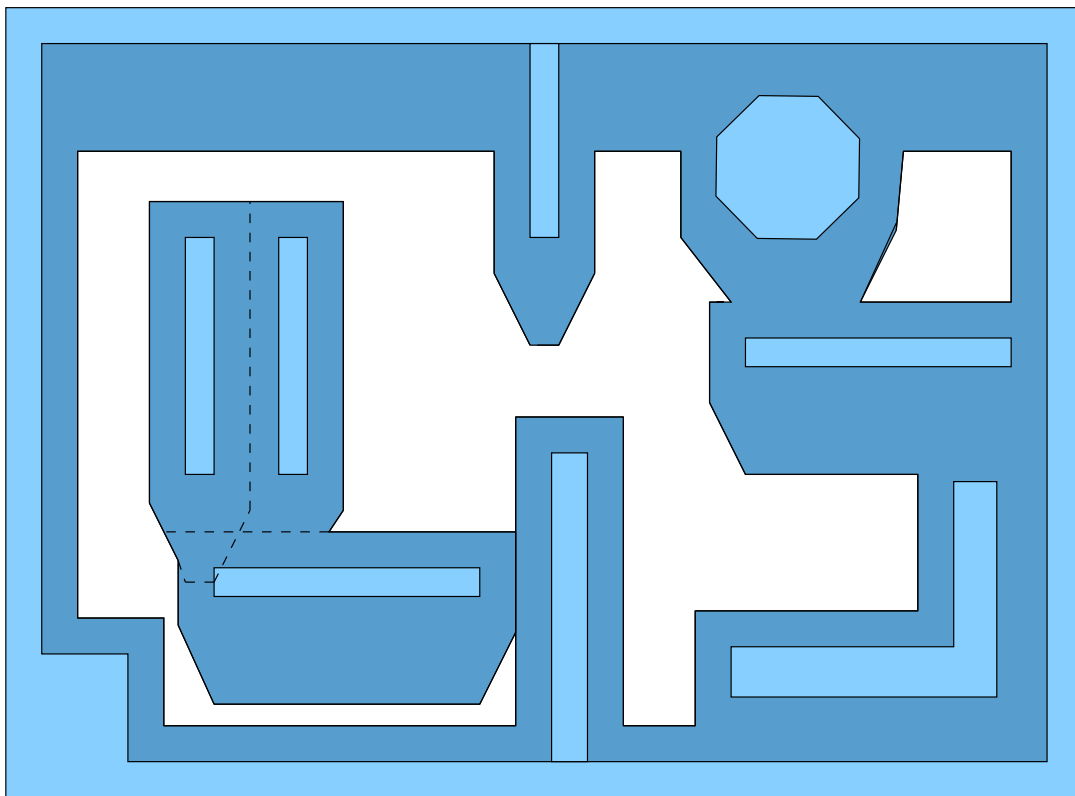
# Verbotener und freier Raum

**Verbotener Konfigurationsraum**  $C_{forb}(\mathcal{R}, \mathcal{H})$ :

$$C_{forb}(\mathcal{R}, \mathcal{H}) = \{p \in \mathcal{C}(\mathcal{R}) \mid \text{Es gibt ein } \mathcal{P} \in \mathcal{H} : \mathcal{R}(p) \cap \mathcal{P} \neq \emptyset\}$$

**Freier Konfigurationsraum**  $C_{free}(\mathcal{R}, \mathcal{H})$ :

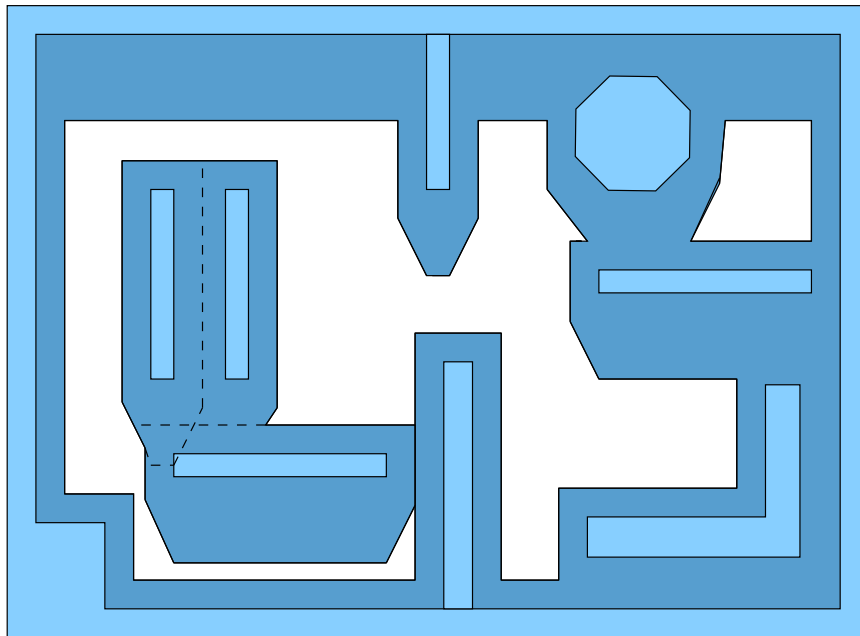
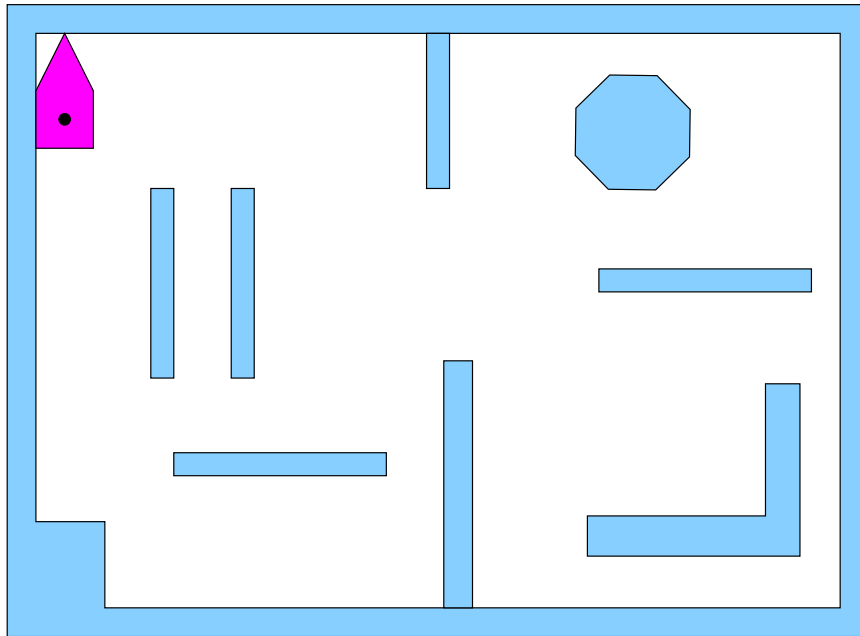
$$C_{free}(\mathcal{R}, \mathcal{H}) = \mathcal{C}(\mathcal{R}) \setminus C_{forb}(\mathcal{R}, \mathcal{H})$$



# Arbeits- und Konfigurationsraum

## Beobachtung

Jeder (kollisionsfreie) Weg  $W$  des Roboters im Arbeitsraum korrespondiert zu einem Weg  $C(W)$  im (freien) Konfigurationsraum und umgekehrt.





# 4 Punktroboter

## Annahmen:

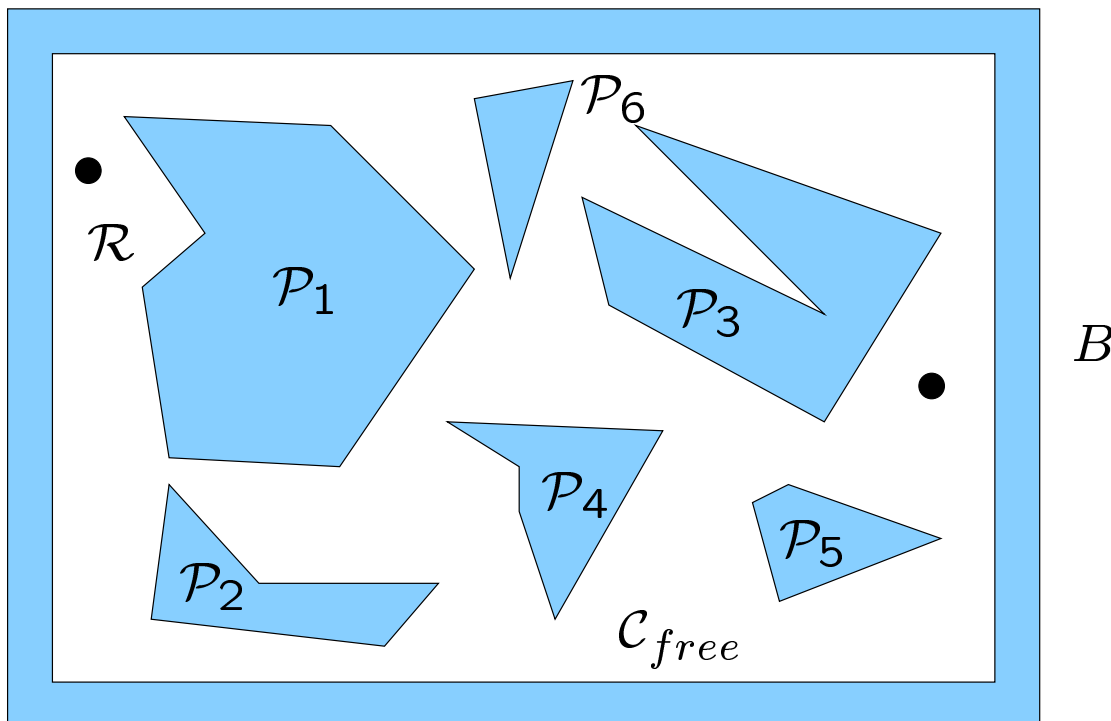
- punktförmiger Roboter  $\mathcal{R}$
- polygonale, disjunkte Hindernisse

$$\mathcal{H} = \{\mathcal{P}_1, \dots, \mathcal{P}_t\}$$

mit insgesamt  $n$  Eckpunkten

- Rechteck  $B$  enthält die Hindernisse

$$C_{free} = C_{free}(\mathcal{R}, \mathcal{H}) = B \setminus \bigcup_{i=1}^t \mathcal{P}_i$$



# Der freie Raum

## Trapez-Zerlegung:

**for all**  $v$  Eckpunkt in  $\mathcal{H}$  **do**

zeichne ein vertikales Liniensegment in  
 $v$  nach oben und eines nach unten  
die Liniensegmente enden beim ersten  
Hindernis oder bei  $B$

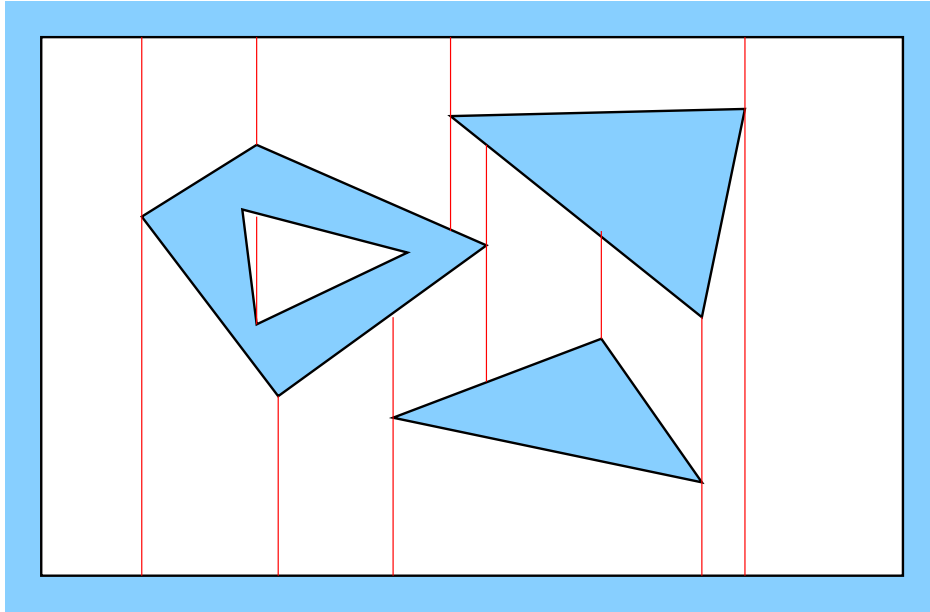
## Algorithmus *BerechneFreienRaum*( $\mathcal{H}$ )

**Input:** Eine Menge  $\mathcal{H}$  von disjunkten,  
polygonalen Hindernissen

**Output:** Die vertikale Dekomposition von  
 $\mathcal{C}_{free}(\mathcal{R}, \mathcal{H})$  für einen Punktroboter  $\mathcal{R}$

- 1 Sei  $E$  die Menge der Kanten in  $\mathcal{H}$
- 2 Berechne die Trapez-Zerlegung  $T(E)$  von  
 $E$
- 3 Entferne die Trapeze im inneren der  
Hindernisse von  $\mathcal{H}$
- 4 Gebe die entstehende Unterteilung  $T(\mathcal{C}_{free})$   
zurück

# Der freie Raum



## Lemma

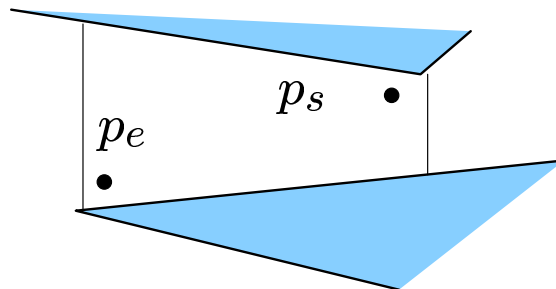
Die Trapez-Zerlegung des freien Konfigurationsraumes kann in  $O(n \log n)$  erwarteter Zeit berechnet werden.

# Berechnung eines Weges

**Gegeben:**  $p_s$  der Startpunkt und  $p_e$  der Zielpunkt

**Gesucht:** Ein kollisionsfreier Weg von  $p_s$  nach  $p_e$

**1. Fall:**  $p_s$  und  $p_e$  gehören zum gleichen Trapez



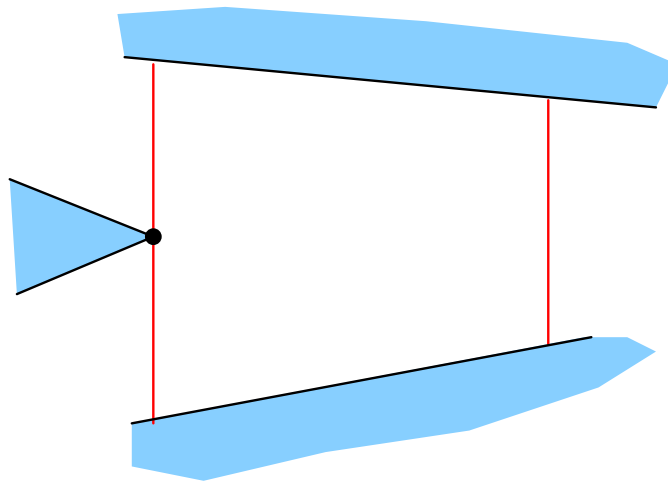
**2. Fall:**  $p_s$  und  $p_e$  gehören zu verschiedenen Trapezen  $\Rightarrow ??$



# Die Straßenkarte (Road map)

**Straßenkarte**  $\mathcal{G}_{road}$ : planarer, in  $\mathcal{C}_{free}$  eingebetteter Graph

**Knoten von**  $\mathcal{G}_{road}$ : Trapez- und vertikale Kanten-Mittelpunkte

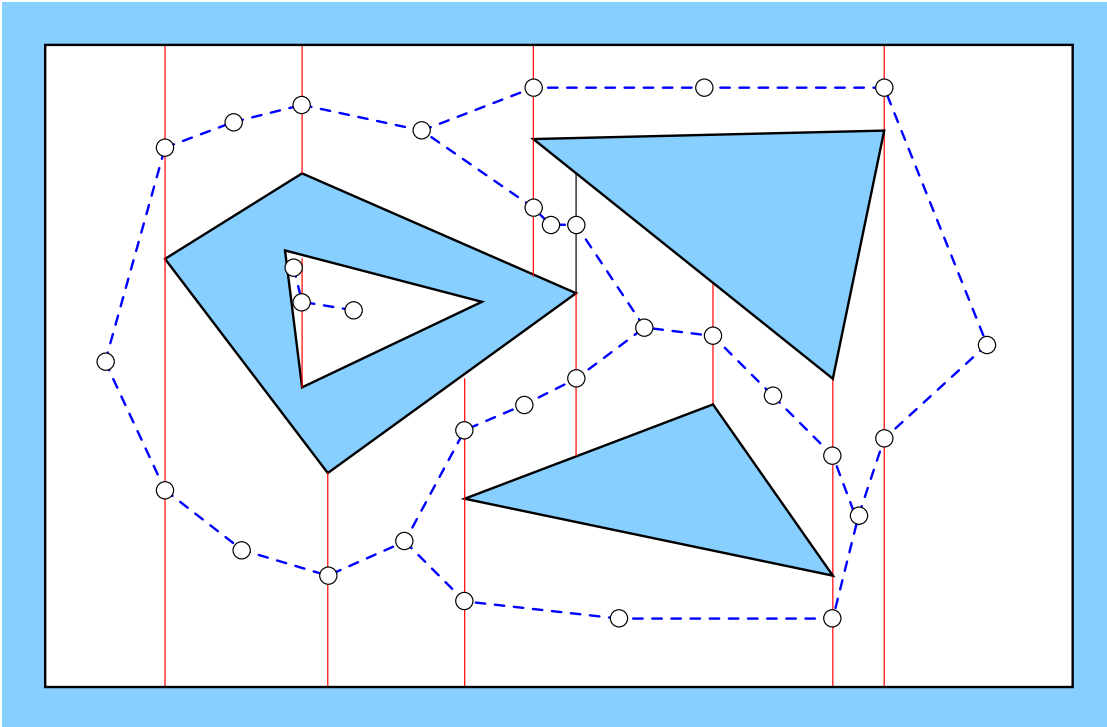


**Kanten von**  $\mathcal{G}_{road}$ :

**for all** Trapeze  $T$  **do**

füge Kanten von dem Mittelpunkt von  $T$  zu den Mittelpunkten der  $T$  begrenzenden vertikalen Kanten ein

# Die Straßenkarte (Road map)



Zeit zur Konstruktion der Straßenkarte:  $O(n)$

# Algorithmus zur Wegeberechnung

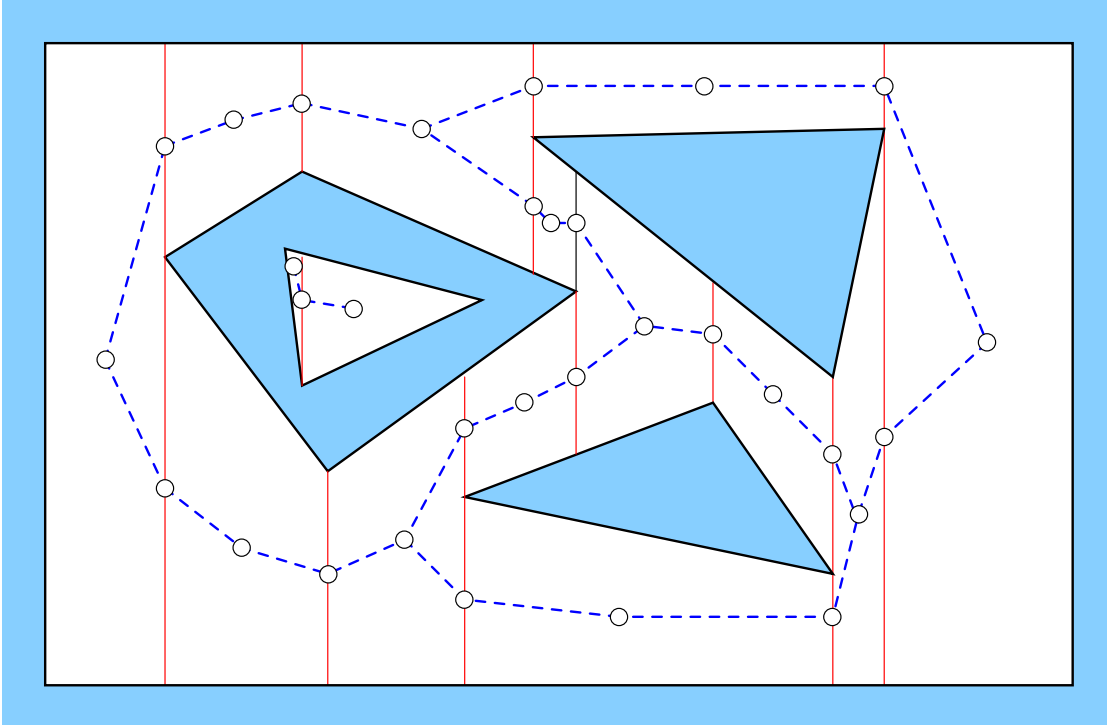
## Algorithmus *BerechneWeg*

**Input:** vertikale Dekomposition  $T(\mathcal{C}_{free})$ ,  
Straßenkarte  $\mathcal{G}_{road}$ , Start- und  
Zielpunkt  $p_s$  und  $p_e$

**Output:** Ein Weg von  $p_s$  nach  $p_e$ , falls einer  
existiert; ansonsten eine Meldung,  
daß kein Weg existiert

- 1 Bestimme Trapeze  $\Delta_s$  und  $\Delta_e$ , die  $p_s$  und  $p_e$  enthalten
- 2 **if**  $\Delta_s$  oder  $\Delta_e$  existiert nicht
- 3     **then** melde, daß  $p_s$  oder  $p_e$  in  $\mathcal{C}_{forb}$
- 4     **else** seien  $v_s$  und  $v_e$  Mittelpunkte von  
           $\Delta_s$  bzw.  $\Delta_e$
- 5         berechne Weg  $W$  von  $v_s$  nach  $v_e$  in  
           $\mathcal{G}_{road}$
- 6     **if**  $W$  existiert nicht
- 7         **then** melde, daß kein Weg  
          existiert
- 8         **else return**  
           $W^* = \overline{p_s v_s} \circ W \circ \overline{v_e p_e}$

# Beispiel



# Korrektheit von BerechneWeg

## Lemma

Algorithmus `BerechneWeg` gibt einen kollisionsfreien Weg zurück gdw es einen solchen Weg gibt.

## Beweis:

$\Rightarrow$ :  $W^*$  ist kollisionsfrei

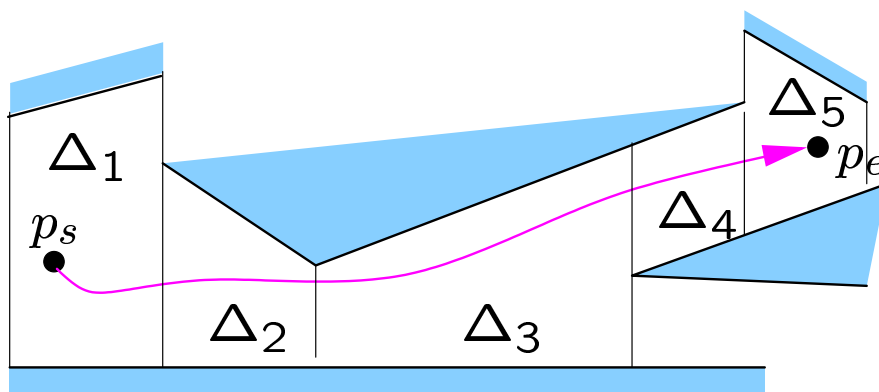
$\Leftarrow$ : Sei  $W'$  kollisionsfreier Weg von  $p_s$  nach  $p_e$

$W'$  schneidet eine Folge  $F$  von benachbarten Trapezen:

$$F = (\Delta_1, \Delta_2, \dots, \Delta_k)$$

mit

$$\Delta_1 = \Delta_s \quad \text{und} \quad \Delta_k = \Delta_e$$



# Korrektheit von BerechneWeg

**Beweis:** (Fortsetzung)

Sei  $v_i$  Mittelpunkt von  $\Delta_i$

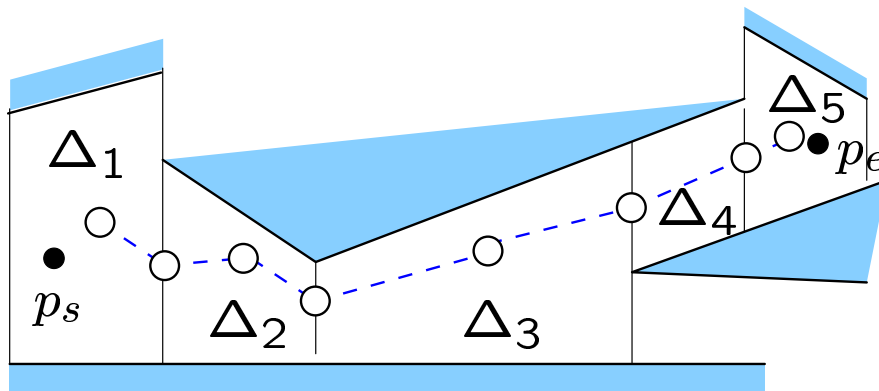
$\Delta_i$  und  $\Delta_{i+1}$  sind benachbart

⇒ Es gibt einen Weg von  $v_i$  nach  $v_{i+1}$  in  $\mathcal{G}_{road}$

⇒ Es gibt einen Weg von  $v_1$  nach  $v_k$  in  $\mathcal{G}_{road}$

⇒ Der Algorithmus findet einen Weg von  $v_s$  nach  $v_e$

⇒ Der Algorithmus findet einen Weg von  $p_s$  nach  $p_e$



Zeitkomplexität von BerechneWeg:  $O(n \log n)$   
(erwartet)